## 第39回 火星勉強会

In situ observations of reconnection Hall magnetic fields at Mars: Evidence for ion diffusion region encounters [Halekas et al., 2009, JGR]

- 1.Introduction
- 2.Data Sources
- 3. Case Studies
- 4. Event Distribution
- 5.Implications and Conclusions

## 阪本 仁 (東北大学)

# **Abstract**

- ・火星の誘導磁気圏において、電流シート中の磁場の四重極構造(Hall磁場)がMGSにより 26イベント観測された。
- ・磁場の四重極構造は無衝突リコネクション(RX)によるものと考えられ、MGSはイオン拡散領域を通過したと考えられる。
- イベントの統計解析によれば
   Hall磁場とmain磁場の比の平均は0.51±0.13。
   normal磁場とmain磁場の比の平均(RXレート)は0.16±0.09。
   これらの値は地球における観測とおよそ一致。
- ・IMFが巻きつくだけでも、RXが起こる電流シートが形成されることが示唆された。 (各々のイベントと残留磁場、IMFの向きの変化に一貫した関連は見られなかった。)
- ・一部のイベントでは、Hall電流の一部となる電子の沿磁力線方向の運動が観測された。
- ・衛星がX-lineより太陽側を通過した時、電流シート中で、電子フラックスの極小が見られた。 (これは、磁力線が閉じていて、火星の熱圏とつながっていることに起因。)
- ・衛星がX-lineより反太陽側を通過した時、電子フラックスの極小は見られなかった。 (これは、磁力線が開いていて、太陽風とつながっていることに起因。)

## 1.Introduction

## 〇先行研究から

- ・IMFと残留磁場のRXを観測 [Brain et al., 2007] [Krymskii et al.,2002]
- ・残留磁場下流にある尾部領域内の電流シートでRXを観測 [Eastwood et al.,2008]

### ○火星でRXが起こると・・・・

- •大気散逸
- 降り込み電子の加速 [Halekas et al., 2008] [Ulisen et al., 2008]

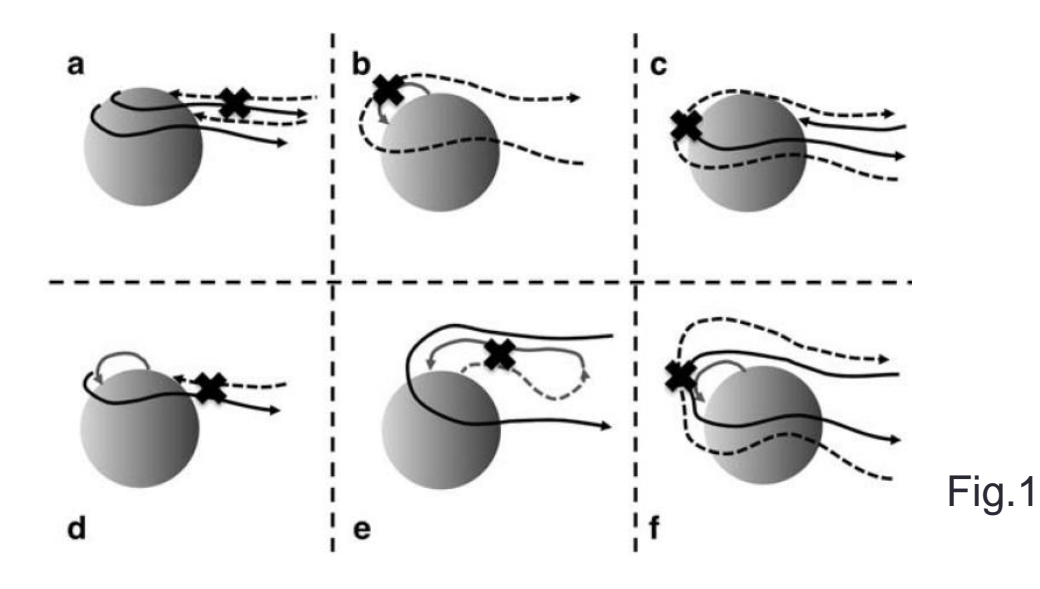
## 〇本論文では

・Eastwood et al. [2008]は、1イベントについて磁場に重きをおいて研究がなされた。本論文では、磁場に加え、電子フラックス、ピッチ角分布も調査し、Case studyと統計解析を行う。

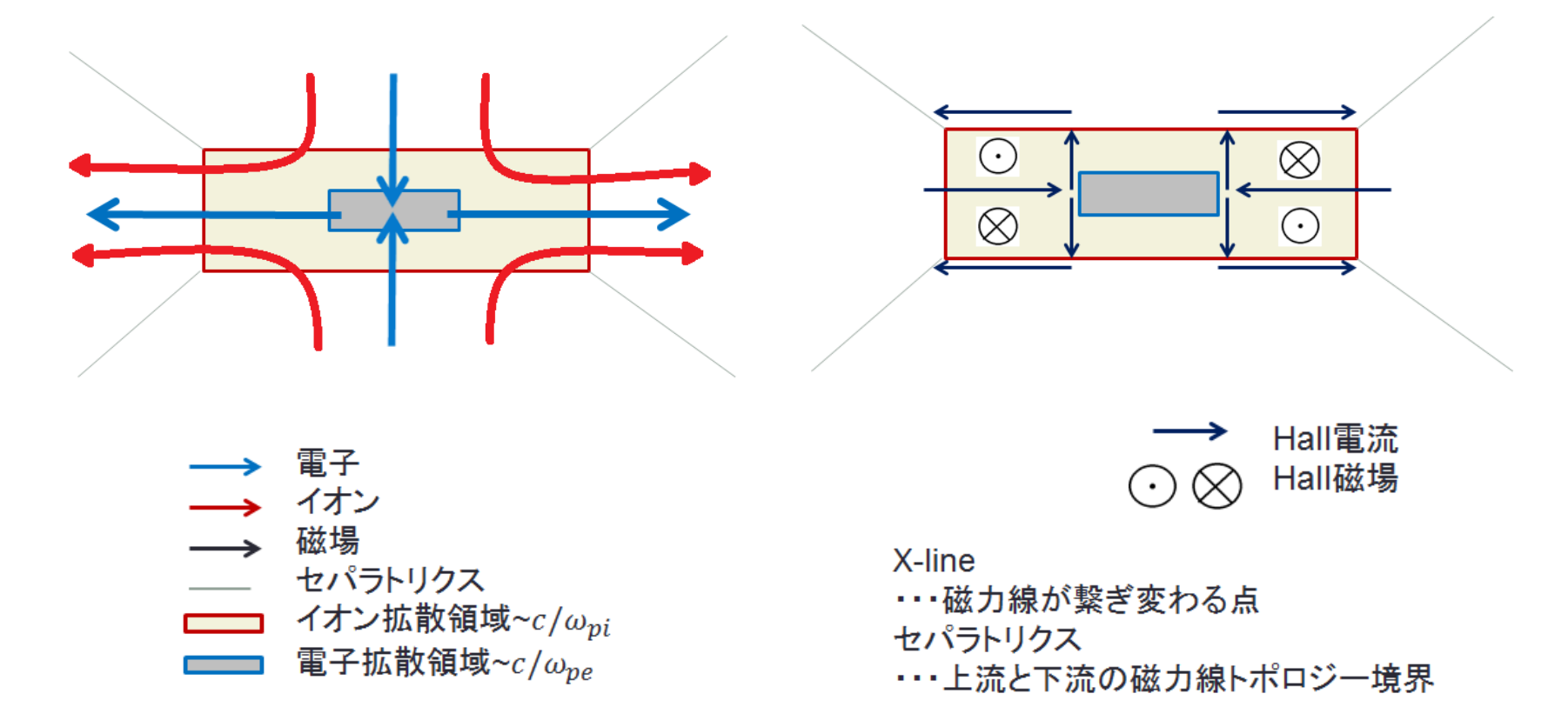
## 〇火星におけるリコネクションのシナリオ

- a. IMFの巻きつき
- •尾部や磁極付近に反転構造
- b. IMFと残留磁場
- •IMFが残留磁場の向きが逆
- c. IMFの向きの変化(電離圏)
- ・電離圏の近くで太陽風の磁場の 不連続面が圧縮

- d. IMFの巻きつき (残留磁場の影響あり)
- ・残留磁場がIMFのひっかかりを抑制
- e. 残留磁場の引き伸ばし
- ・太陽風による引き伸ばし
- f. IMFの向きの変化(残留磁場)
- ・残留磁場の近くで太陽風の磁場の 不連続面が圧縮



## ○無衝突磁気リコネクション



- ・無衝突磁気RXでは、Hall電流を形成して、 電流シート内に磁場の四重極構造(Hall磁場)が生じる。
  - ※RXについては、以下のwebページが参考になる。 http://www.astro.phys.s.chiba-u.ac.jp/pcans/em2d\_mrx.html

## 2.Data Sources

### 〇観測機器

Magnetometer (MAG)(精度:~0.5nT in shadow ~1.0nT elsewhere)

•Electron Reflectometer (ER) (レンジ: 10eV-20keV, 視野: 360°×14°)

## <u>〇データ</u>

・磁場・電子エネルギーフラックス・電子ピッチ角分布

Local time : ~2am/2pm

•高度:~400km

※ERの視野の関係で、電子ピッチ角分布のレンジは、一定ではない

## 3. Case Studies

## 3.1 Expected Magnetic Field Signatures

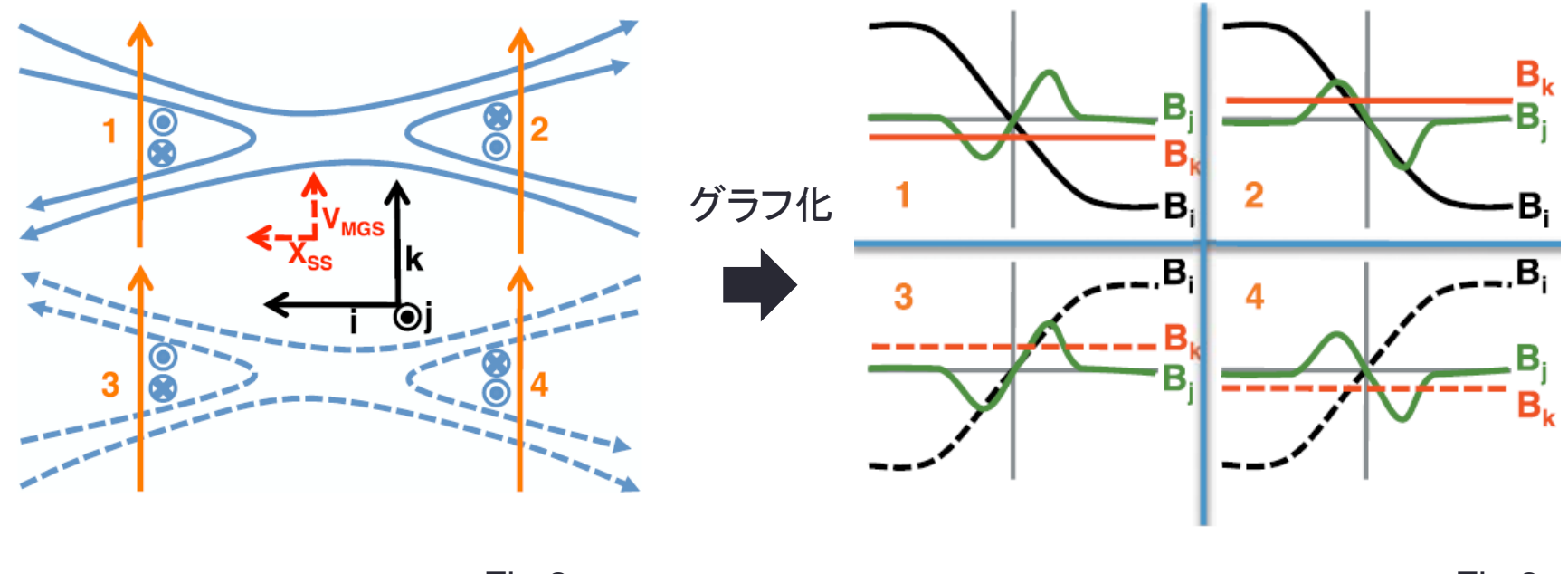


Fig.2 Fig.3

### MSO座標

X:太陽方向

Y:公転と逆向き方向

Z:黄道に垂直な方向

## Minimum variance座標

i:分散が最大である磁場成分の方向 ⇒ main field

j:分散が中間である磁場成分の方向 ⇒ Hall field

k:分散が最小である磁場成分の方向 ⇒ normal field

### 3.2 Case Study 1: On 21 November 2003

#### 磁場の四重極構造、電子のピッチ角分布ともに無衝突RXで説明がつくケース

### イベントの基本情報

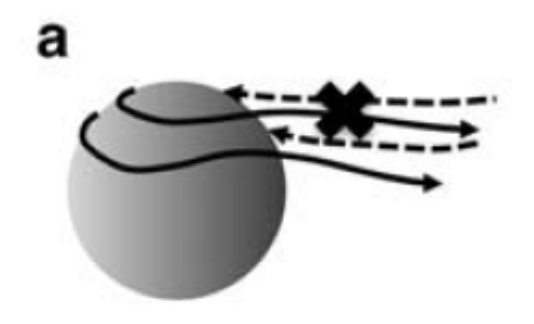
·local time: 2am

·太陽天長角: 138°

・地理緯度・傾度: 268° E 57° N(※残留磁場が強い領域から遠い)

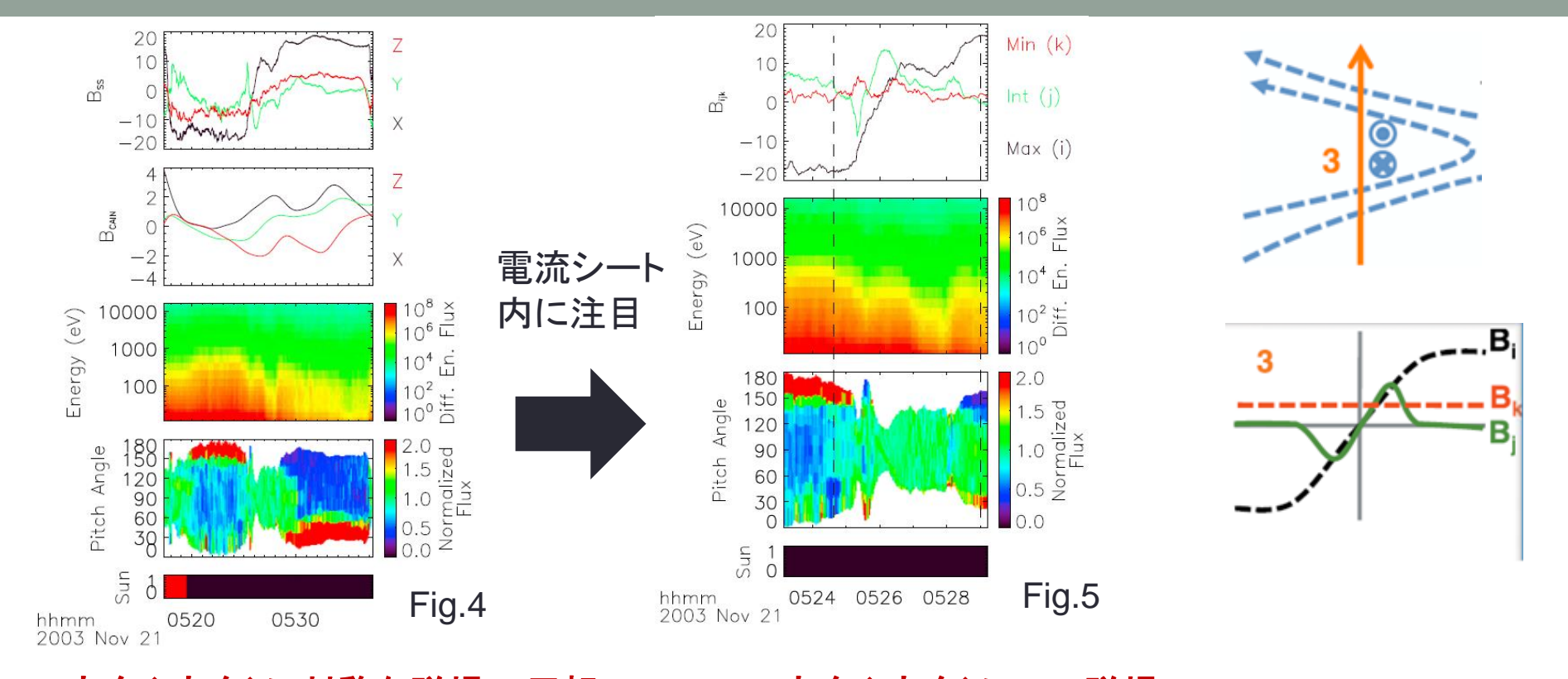
•IMF clock angleの変化:16°

(※ IMF clock angleほとんど一定と考えてよい。)





このケースの電流シートはFig.1のaのパターンで形成されたと考えられる。



- ・X方向(i方向)に対称な磁場の反転 ~ 20nT、Y方向(j方向)にHall磁場 ~ 10nT
- ·Hall磁場の様子は定量的・定性的にも 地球の尾部・マグネットポーズ・シースの 観測と似ている。[Øieroset et al., 2001] [Mozer et al., 2002] [Phan et al., 2007]・・・・
- •minimum variance座標での磁場変化からX-lineから太陽側の領域を横切ったと考えられる。(Fig.2、Fig.3におけるタイプ3)
- ・電流シート内に電子フラックスの極小点が2か所見える。 (セパラトリクス付近での電子の減少 or **電流シート中の磁力線が惑星・外圏を通っている。**)

・電流シートの厚みTは以下のように見積もることができる。

main fieldの反転構造の時間幅は~70s、衛星の速度は~3.4km/s normal方向と衛星の速度方向、それぞれの方向の単位ベクトルの内積~0.36

$$\uparrow$$
 T~70[s] × 3.4[km/s] × 0.36 = 85km

・電流シート・衛星の交差点とX-lineの距離dは、以下のように見積もれる。

$$d = \frac{T}{2} \div \frac{\langle B_k \rangle}{\langle B_i \rangle} \sim 400 \text{km}$$

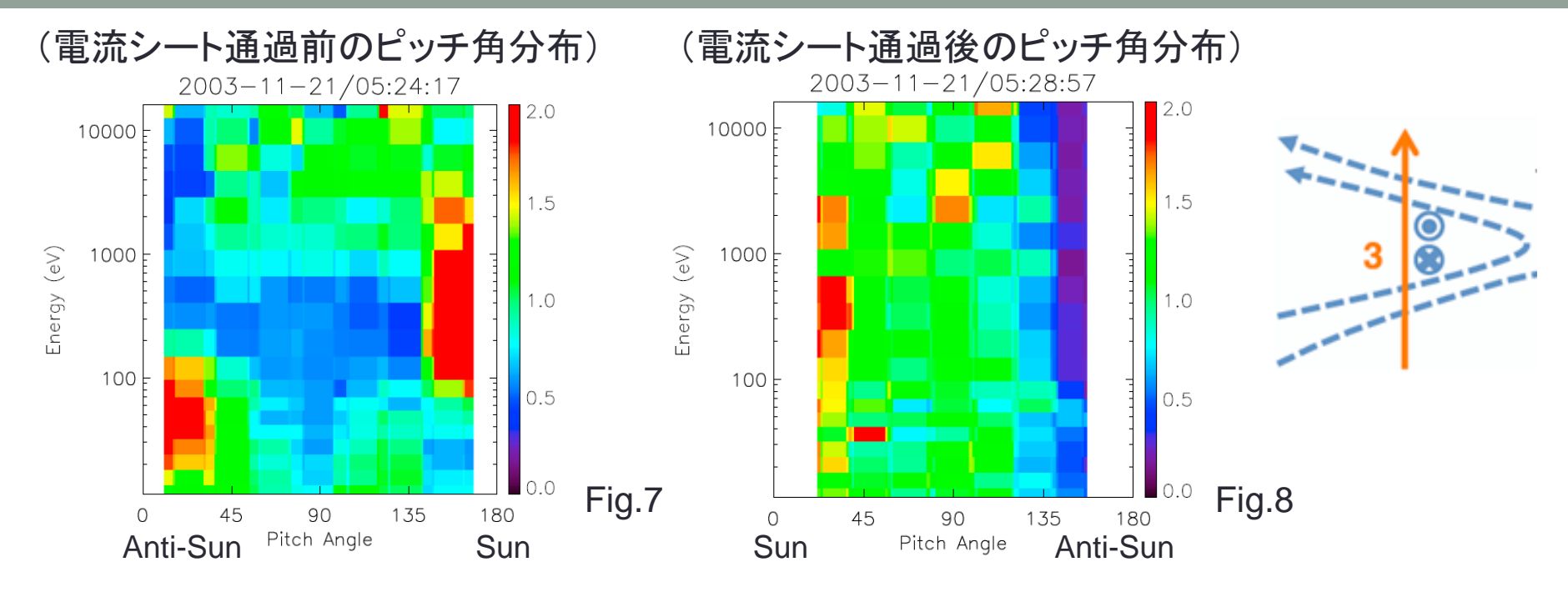
・尾部でのジャイロ半径、慣性長を見積もることは難しいので MEXの観測結果に基づきシースのジャイロ半径、慣性長を見積もり、T、dと比べる。

ジャイロ半径: ~50km (プロトン) ~0.5km(電子) 慣性長: ~230km(プロトン) ~5km(電子)

(※尾部ではジャイロ半径はもう少し小さく、慣性長は、もう少し大きい)

Tはイオンの慣性長と同程度(少し小さい)状況であり、激しいリコネクションが起こりうるような厚みであることがいえる。

イオン拡散領域の長さが慣性長の数倍とすると、dはそれより少し小さく、衛星は、イオンの拡散領域を通過したと考えられる。



- ・通過前と通過後で分布は異なる。⇒非対称なリコネクションの可能性(main-fieldは対称だった。)
- •<u>通過前</u>
  - 100-1000eVで太陽方向(X-lineから遠ざかる)の運動、
  - 0-100eVで反太陽方向(X-lineに近づく)の運動
  - ⇒これらの描像は地球の尾部の観測[Manapat et al., 2006]と似ており、 Hall電流の一部をとらえたものと考えられる。
- •<u>通過後</u>
  - 0-1000eVで太陽方向の運動、180°付近でロスコーン分布
  - ⇒磁力線が衝突のある熱圏を通っていることを示唆

### 3.3 Case Study 2: On 30 March 2001

磁場の四重極構造は無衝突RXで説明がつくが、 電子のピッチ角分布は説明できないケース

### イベントの基本情報

·local time: 2am

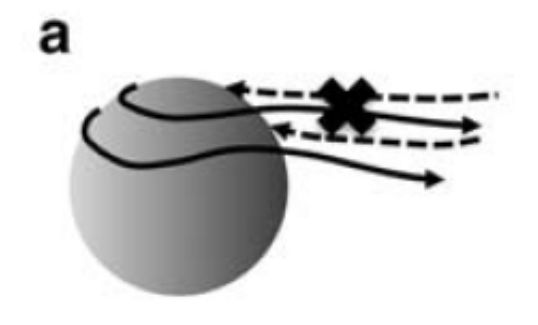
·太陽天長角: 140°

•地理緯度•傾度: 358° E 42° N

(※残留磁場が強い領域からそれなりに遠い)

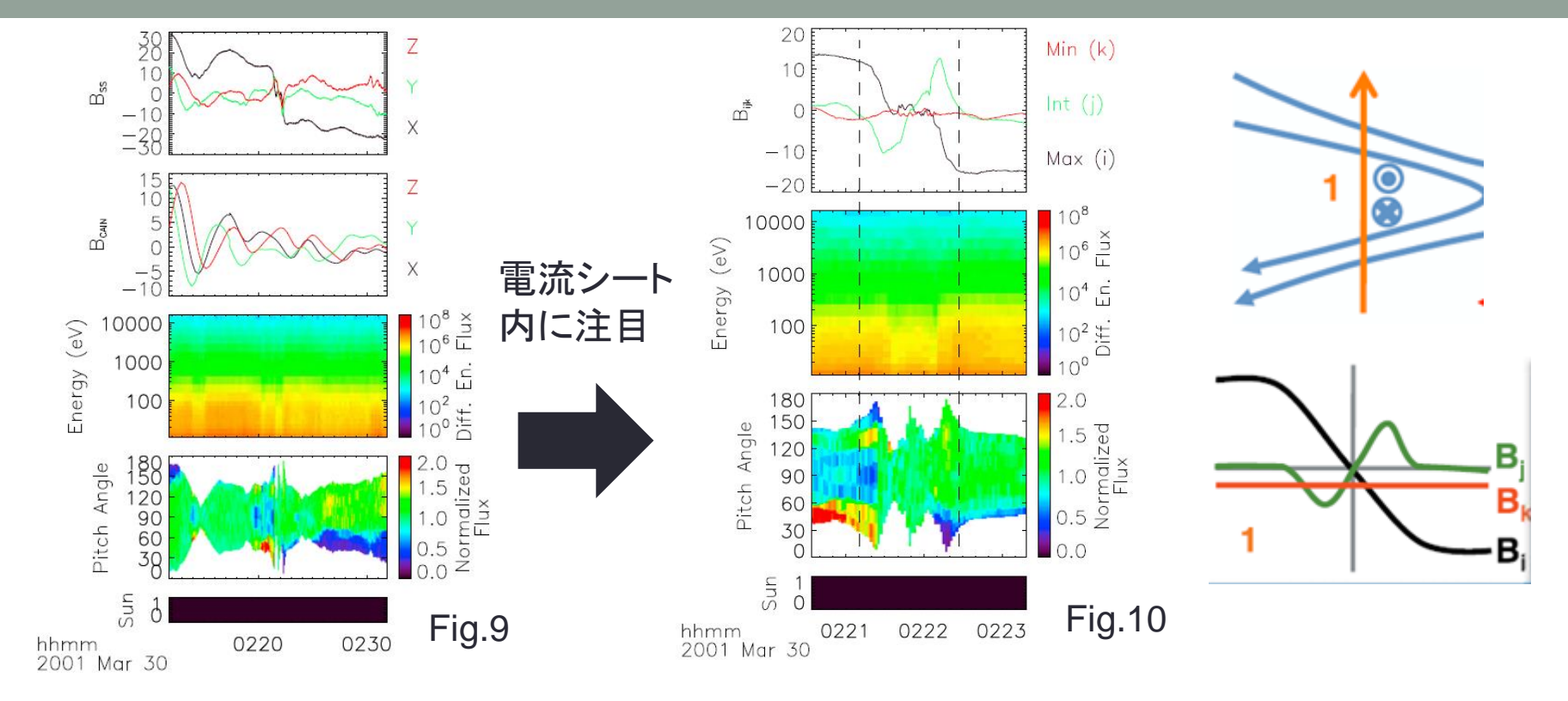
•IMF clock angleの変化:22°

(※ IMF clock angleほとんど一定と考えてよい。)

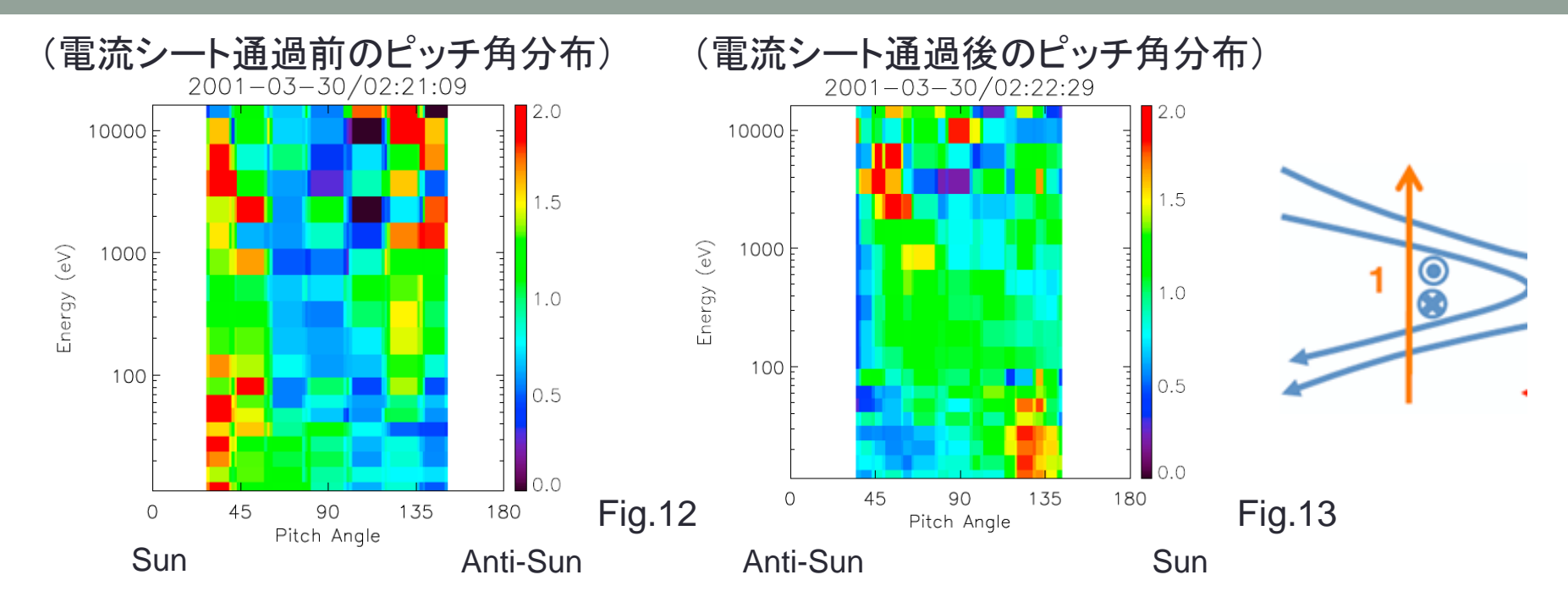




このケースの電流シートもFig.1のaのパターンで形成されたと考えられる。



- ・Hall磁場がY方向、Z方向に両方に含まれている。(Case study 1ではY方向のみ)
- ・Main-fieldとHall-fieldが中心付近で、階段化。(bifurcated current sheetを示唆)
- ・minimum variance座標での磁場変化からX-lineから太陽側の領域を横切ったと考えられる。(Fig.2、Fig.3におけるタイプ1)
- ・電流シート内にはっきりとした電子フラックスの極小点が2か所見える。
- •T~185km、d~900kmと推論される。(二つの値は、Case study 1の2倍)



### •<u>通過前</u>

0-100eVで太陽方向(X-lineから遠ざかる)の運動 1000eV-10000eVで反太陽方向(X-lineに近づく)の運動

低エネルギーが反太陽方向、高エネルギーが太陽方向のCase study 1 とは逆、 地球で観測されるようなHall電流の構造とも逆、原因は不明。

#### •通過後

0-100eVで太陽方向(X-lineから遠ざかる)の運動 45°付近でロスコーン分布

⇒磁力線が衝突のある熱圏を通っていることを示唆。

## 4. Event Statistics

### **4.1Event Selection**

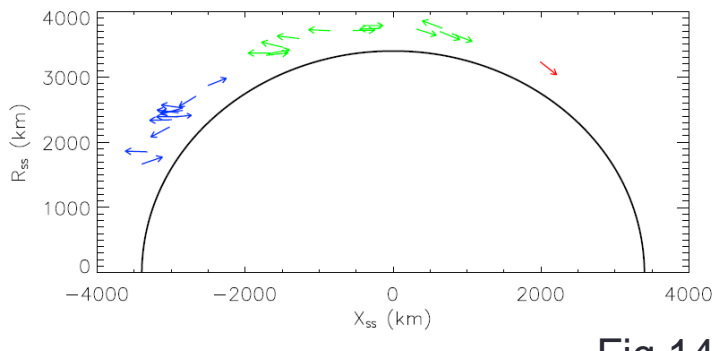
```
<u>データ数</u>
10000 (観測された電流シート)

↓
56 (四重極構造持ち電流シート)

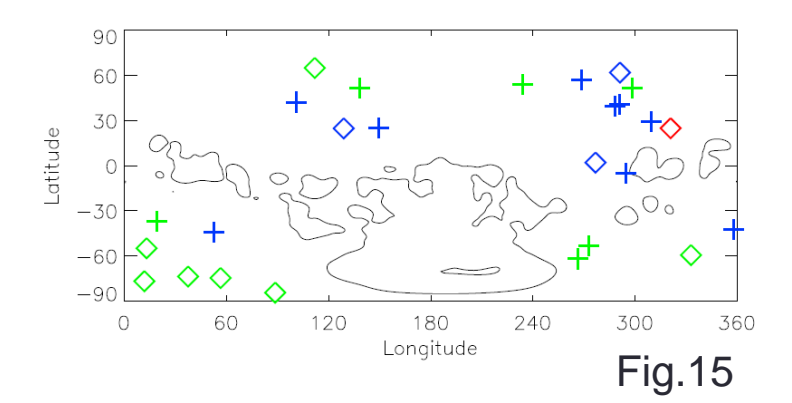
↓
38 (ノイズが少ないもの)

↓
28 (下記のcriteriaを課して残ったもの)

↓
26 (RXの四重極と極性が合う電流シート)
```







Criteria: 以下を満たすものは除外

- •normal-fieldが0.5nT以下
- •normal-fieldが1nT以下 かつ 変動による不確定性が30%以上
- <del><|B<sub>k</sub>|></del> が0.3以上

※この基準によって、相対的に激しいRXが残る。

•26イベント中、12イベントが夜側、13イベントがterminator/極領域、1イベントが昼側に分布 (Fig.14)

Table 1. Event List

		Longitude	Subsolar	Position Relative	115 eV	115 eV		
D-4 1 T' 3	CZA	and	Longitude	to X Line by B	Electron	Electron	Peak	//p /\///p /\
Date and Time <sup>a</sup>	SZA	Latitude	and Latitude	(Electron)	Before/After	During	$ \mathbf{B_j} /\langle  \mathbf{B_i}  \rangle$	$\langle  B_k  \rangle / \langle  B_i  \rangle$
2005-06-26/03:50:38	58	321, 25	284, -21	Antisunward (Sunward)	Mixed/Noisy	Isotropic/Noisy	0.60	0.072
2001-11-23/09:47:40	78	12, -77	179, -25	Antisunward (Sunward)	Antisunward FA/ Isotropic	Isotropic	0.47	0.175
2001-11-04/20:19:51	80	37, -74	199, -25	Antisunward	Anti-Sun FA/Isotropic	Isotropic	0.69	0.060
2003-11-30/00:08:37	85	56, -75	225, -20	Antisunward	Loss Cone/Isotropic	Isotropic	0.60	0.107
2005-02-04/11:20:42	96	112, 65	243, 10	Antisunward (Sunward)	Isotropic	Isotropic	0.65	0.201
2005-05-31/22:37:08	98	333, -60	116, -16	Antisunward	Isotropic	Isotropic	0.53	0.087
2001-06-21/06:39:55	117	13, -55	157, -1	Antisunward (Antisunward)	Isotropic/ Loss Cone	Isotropic	0.34	0.136
2003-01-06/01:41:19	117	89, -85	266, 22	Antisunward	Isotropic	Isotropic	0.52	0.106
2005-07-09/00:05:57	80	138, 52	106, -23	Sunward (Sunward)	Noisy Isotropic/ Sunward FA	Isotropic	0.46	0.086
2004-11-12/06:56:55	92	267, -62	221, 23	Sunward (Sunward)	Bidirectional/Isotropic	Trapped	0.49	0.335
2001-03-29/06:13:25	103	298, 51	77, 17	Sunward (Sunward)	Loss Cone	Isotropic, Flux Decrease	0.32	0.094
2001-05-20/20:18:43	109	234, 54	10, 6	Sunward (Sunward)	Bidirectional/ Loss Cone	Isotropic, Flux Decrease	0.64	0.132
2001-11-12/02:46:47	113	19, -37	174, -25	Sunward	Loss Cone/ Isotropic	Isotropic/ Flux Increase	0.38	0.136
2003-05-12/00:25:53	116	273, -54	54, -1	Sunward	Sunward FA	Trapped/ Flux Decrease	0.38	0.30
2001-09-25/02:19:23	131	291, 62	70, -22	Antisunward (Antisunward)	Isotropic/Loss Cone	Isotropic	0.29	0.31
2003-07-24/09:32:01	141	129, 25	267, -18	Antisunward (Antisunward)	Noisy Loss Cone/ Isotropic	Mixed/ Flux Increase	0.38	0.196
2004-03-19/09:09:14	154	277, 2	71, 3	Antisunward (Antisunward)	Loss Cone	Isotropic/ Flux Increase	0.43	0.074
2006-03-17/04:58:19	135	149, 25	301, 11	Sunward	Mixed/Loss Cone	Mixed/ Flux Decrease	0.63	0.081
2003-11-21/05:27:20	138	268, 57	60, -21	Sunward (Sunward)	Sunward FA	Isotropic/ Flux Decrease	0.63	0.326
2006-01-02/20:42:48	138	288, 40	84, -4	Sunward	Sunward FA	Isotropic	0.36	0.097
2001-11-03/02:45:07	139	295, -5	86, -25	Sunward (Antisunward)	Isotropic/ Loss Cone	Trapped/ Flux Decrease	0.59	0.264
2001-03-30/02:21:47	140	358, -42	143, 17	Sunward (Antisunward)	Sunward FA/ Loss Cone	Isotropic, Flux Decrease	0.76	0.090
2003-07-20/19:11:49	140	310, 29	87, -18	Sunward	Sunward FA	Isotropic	0.50	0.084
2005-07-08/14:45:45	142	101, 42	241, -23	Sunward	Sunward FA	Isotropic/ Flux Decrease	0.58	0.229
2004-11-03/02:45:13	143	53, -45	196, 24	Sunward (Antisunward)	Isotropic	Mixed	0.61	0.227
2005-10-11/15:04:44	151	289, 41	86, -21	Sunward	Loss Cone/ Sunward FA	Isotropic	0.38	0.140

<sup>&</sup>lt;sup>a</sup>Date and time format is year-month-day/time and time is in UT.

## **4.2 Basic Event Properties**

#### 統計解析によると

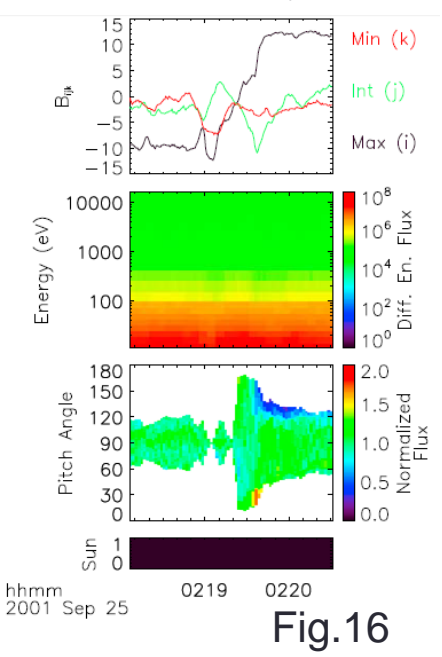
- •Hall磁場のmain磁場の比の平均値 : peak $\frac{|B_j|}{<|B_i|>}$   $\sim 0.51\pm 0.13$ 
  - ⇒地球の観測値[Øieroset et al., 2001] [Mozer et al.,2002] [Phan et al.,2007]と同程度。
- •normal磁場とmain磁場の比(RXレート)の平均値 :  $\frac{<|B_j|>}{<|B_i|>}$ ~0.16±0.09
  - ⇒速いリコネクションを示唆。地球の観測値に比べて少し大きい。 (criteriaによって相対的に激しいRXのみが抜き出されたため。)

### **4.3 Event Distribution**

- Fig.14のベクトルの向きは、current sheet に沿ったX-lineの位置を指し示す。ベクトルの向きは、平均的なdraping patternと一致している。
  - ⇒RXが起きるような電流シートの形成に特別な太陽風の磁場や、 特別な磁気圏の形状は必要ではない。
- •Fig.15から、残留磁場との関連性は見られない。しかしいくつかのイベントは、 南半球の高緯度側に位置しており、これらのイベントでは残留磁場が関わって いる可能性もある。

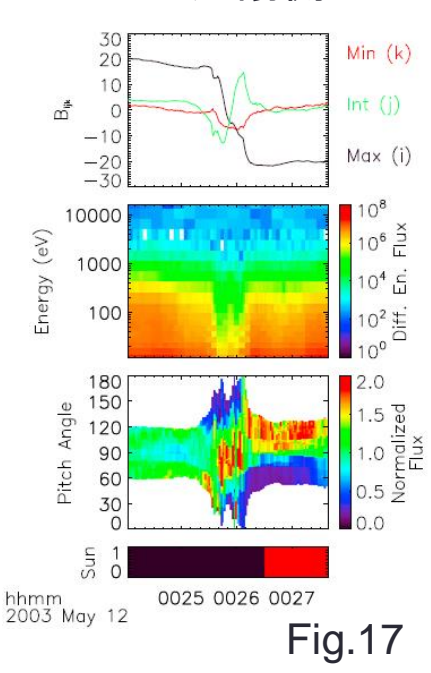
### **4.4 Event Type Examples**

### 夜、 X-lineは反太陽側



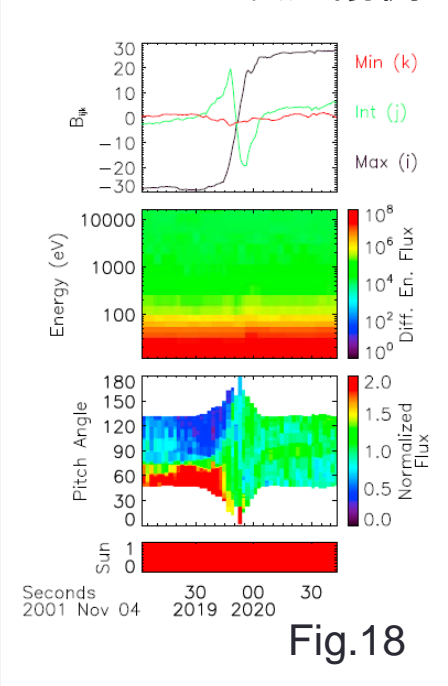
- ・通過前、等方的なピッチ角分布
- 通過後、ロスコーン分布

### Terminator/極、 X-lineは太陽側



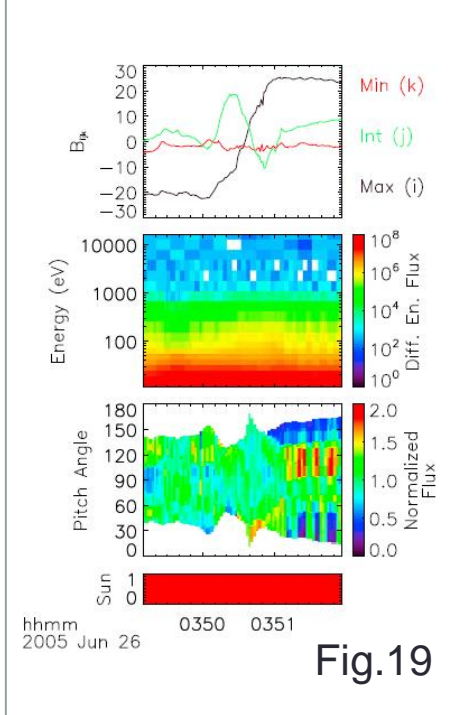
- ・シート内に電子フラックスの2つの極小
- ・シート内に trapped distribution ↓ 熱圏とのつながり

### Terminator/極、 X-lineは反太陽側



·通過前、磁力線 平行方向の電子 の運動 (Hall電流の一部)

#### 昼



### 4.5 Electron Characteristics

26イベントのピッチ角分布には以下の傾向がある

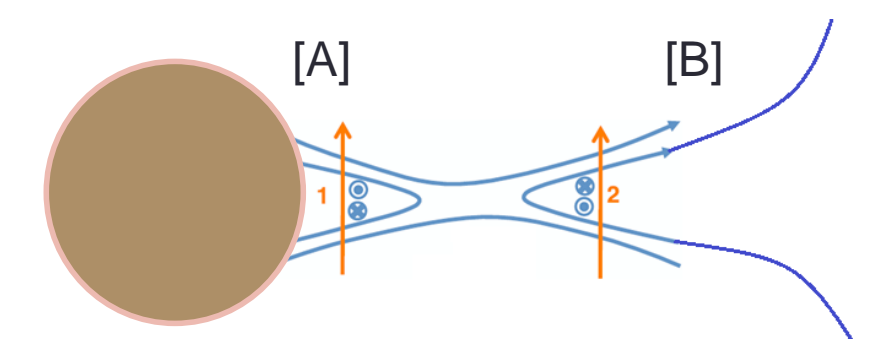
#### [A] 衛星がX-lineより太陽方向を通過する場合

- ・電流シート中で、ピッチ角分布は等方的に分布もしくは、trapped distribution (Fig.5、10、17で見られたようなフラックスの減少を含んでいる。)
- ・通過前、通過後で、ピッチ角分布はロスコーン分布、 もしくは(かつ)太陽方向の磁場にそった電子の運動が存在。

#### ⇒磁力線が衝突のある外圏につながっていて、プラズマが失われている

### [B] 衛星がX-lineより反太陽方向を通過する場合

- ・電流シート中で、ピッチ角分布は等方的に分布
- ・通過前、通過後で、ピッチ角分布は等方的な分布かつ(もしくは)ロスコーン分布
- ⇒磁力線が太陽風につながっていて、プラズマが太陽風からアクセスできる。 (ロスコーン分布はやはり、磁力線の外圏とのつながりで説明できる。)



### **4.6 Current Sheet Properties**

・全電流シートと抽出された26イベントの電流シートを比べると、磁場強度に さほど大きな違いはない。

•26イベントにおける電流シートの厚みの中央値 ~67km 観測された全電流シート(10000例)の厚みの中央値 ~174km

火星において、薄い電流シートの方がRXが起こりやすい。

(理論・モデルで予想される描像と一致)

### **4.7 External Drivers**

・26イベントで、季節の違い、IMFの巻きつく向きの違いに対応するようなイベント間の明確な違いは見られなかった。

•26イベントにおけるsubsolar付近の|B|の中央値 ~50nT 10000例におけるsubsolar付近の|B|の中央値 ~36nT

太陽風動圧が大きいときの方が、RXが起こるような電流シートが形成されやすい。

•26イベントにおけるIMF clock angleの変化の中央値 ~18° 10000例におけるIMF clock angleの変化の中央値 ~40°

IMFの不連続面によるRXより、巻きつきで形成される電流シート内のRXの方が起こりやすい。

# **5.Implications and Conclusions**

### **Conclusions**

- ・火星の誘導磁気圏内で、電流シート中に磁場の四重極構造がMGSにより観測された。 (磁場の四重極構造は無衝突RXによるもの、MGSはイオン拡散領域を通過。)
- ・イベントの統計解析によって得られた、Hall磁場とmain磁場の比の平均値と normal磁場とmain磁場の比の平均値(RXレート)は、地球における観測とおよそ一致。
- ・IMFが巻きつくだけでも、RXが起こる電流シートが形成される。 (各々のイベントと残留磁場、IMFの向きの変化に一貫した関連は見られなかった。)

### <u>Implications</u>

- ・火星でのRXの観測結果を普遍たらしめるような グローバルシミュレーションとローカルシミュレーションが必要。
- ・火星のイオン拡散領域は地球尾部に比べ、変動がおだやか (磁場があまり乱流的でない or 電流シートがゆっくり動いている。) ⇒火星がRXの微視的物理を研究をするのに打ってつけの環境かもしれない。
- ・火星でのRXが一般的な現象だとすれば、大気散逸につながる可能性あり。
- ・RXの重要性を調べるには、もっと包括的な観測装置が必要。⇒MAVEN